

2008-05-01

The comparison of frictional force in two passive self-ligating brackets and a conventional bracket

Buntoon Chotiwannaporn

Porntip Chiewcharat

Niramol Chamnannidiadha

Follow this and additional works at: <https://digital.car.chula.ac.th/cudj>



Part of the [Dentistry Commons](#)

Recommended Citation

Chotiwannaporn, Buntoon; Chiewcharat, Porntip; and Chamnannidiadha, Niramol (2008) "The comparison of frictional force in two passive self-ligating brackets and a conventional bracket," *Chulalongkorn University Dental Journal*: Vol. 31: Iss. 2, Article 4.

DOI: 10.58837/CHULA.CUDJ.31.2.4

Available at: <https://digital.car.chula.ac.th/cudj/vol31/iss2/4>

This Original article is brought to you for free and open access by the Chulalongkorn Journal Online (CUJO) at Chula Digital Collections. It has been accepted for inclusion in Chulalongkorn University Dental Journal by an authorized editor of Chula Digital Collections. For more information, please contact ChulaDC@car.chula.ac.th.



การเปรียบเทียบแรงเสียดทานระหว่าง เซลฟ์ไลเกตดิงแบร์กเกตแบบไร้แรงสองชนิด และแบร์กเกตธรรมดา

บัณฑิต ไซตวรรณพร ท.บ., วท.ม. (ทันตกรรมจัดฟัน)¹

พรทิพย์ ชิวชรัตน์ ท.บ. (เกียรตินิยม), ท.ม. (ทันตกรรมจัดฟัน), อ.ท. (ทันตกรรมจัดฟัน)²

นิรมล ชำนาญนิธิธร ท.บ. (เกียรตินิยม), Dr. med. dent. (ทันตกรรมจัดฟัน),
อ.ท. (ทันตกรรมจัดฟัน)²

¹นิสิตปริญญาโทบัณฑิต ภาควิชาทันตกรรมจัดฟัน คณะทันตแพทยศาสตร์ จุฬาลงกรณ์มหาวิทยาลัย

²ภาควิชาทันตกรรมจัดฟัน คณะทันตแพทยศาสตร์ จุฬาลงกรณ์มหาวิทยาลัย

บทคัดย่อ

วัตถุประสงค์ เพื่อเปรียบเทียบแรงเสียดทานระหว่างเซลฟ์ไลเกตดิงแบร์กเกตแบบไร้แรง 2 ชนิด คือ ตามอนทรีเอ็มเอ็กซ์ที่มีการออกแบบการยึดจับลวดแบบบานสไลด์และสมาร์ทคลิป์ที่มีคลิป์ 2 ข้างเพื่อยึดจับลวด และแบร์กเกตธรรมดาเจมินี่ที่มีดัดด้วยวงอีลาสโตเมอร์

วัสดุและวิธีการ เป็นการทดลองในสภาวะแอคทีฟที่แบ่งกลุ่มตัวอย่างออกเป็น 3 กลุ่ม กลุ่มละ 30 ตัวอย่าง โดยใช้ลวดเหล็กกล้าไร้สนิมขนาด 0.019 x 0.025 นิ้ว ที่มุมวิกฤต 3 องศา เคลื่อนผ่านร่องแบร์กเกตมาอ่านค่าแรงเสียดทานที่ได้จากเครื่องลดยด์ ยูนิเวอร์แซลเทสติ้ง แล้วทำการวิเคราะห์ความแปรปรวนแบบทิศทางเดียวของค่าเฉลี่ยและเปรียบเทียบแบบพหุคูณของค่าเฉลี่ยแรงเสียดทานสถิติใน 3 กลุ่มด้วยการวิเคราะห์แทมเฮนที่ระดับความเชื่อมั่น 0.05

ผลการศึกษา แบร์กเกตตามอนทรีเอ็มเอ็กซ์มีค่าเฉลี่ยแรงเสียดทานที่น้อยที่สุด (0.203 ± 0.083 นิวตัน) รองลงมาเป็นสมาร์ทคลิป์ (0.297 ± 0.074 นิวตัน) และแบร์กเกตธรรมดามีค่าเฉลี่ยแรงเสียดทานที่มากที่สุด (1.865 ± 0.404 นิวตัน) จากการเปรียบเทียบค่าเฉลี่ยแรงเสียดทานในทั้ง 3 กลุ่ม พบว่าทั้ง 3 กลุ่มมีความแตกต่างอย่างมีนัยสำคัญทางสถิติที่ระดับ 0.05

สรุป ในสภาวะแอคทีฟ แบร์กเกตตามอนทรีเอ็มเอ็กซ์และแบร์กเกตสมาร์ทคลิป์มีแรงเสียดทานน้อยกว่าแบร์กเกตธรรมดาอย่างมีนัยสำคัญทางสถิติ และระหว่างเซลฟ์ไลเกตดิงแบร์กเกตแบบไร้แรง 2 ชนิด พบว่าแบร์กเกตตามอนทรีเอ็มเอ็กซ์ มีแรงเสียดทานที่น้อยกว่าแบร์กเกตสมาร์ทคลิป์อย่างมีนัยสำคัญทางสถิติ

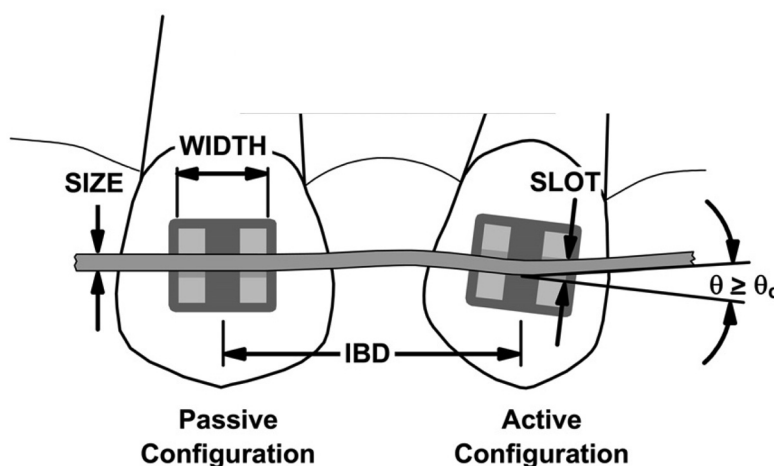
(ว ทนต จุฬาฯ 2551;31:159-69)

คำสำคัญ: เซลฟ์ไลเกตดิงแบร์กเกตแบบไร้แรง; แบร์กเกตธรรมดา; แรงเสียดทานสถิติ; สภาวะแอคทีฟ

บทนำ

การเคลื่อนฟันโดยใช้เครื่องมือจัดฟันแบบติดแน่น จำเป็นต้องอาศัยการให้แรงผ่านไปยังแบร็กเกต (bracket) ที่ยึดติดบนผิวเคลือบฟันเพื่อดึงฟันให้เคลื่อนไปในตำแหน่งที่ต้องการ จึงมักพบบ่อที่ฟันไม่สามารถเคลื่อนไปในตำแหน่งต่างๆ ได้ เนื่องจากแรงเสียดทานที่เกิดขึ้นในการเคลื่อนฟันไปบนลวดโค้งทางทันตกรรมจัดฟัน (arch wire) มีหลายปัจจัยที่มีผลต่อการเคลื่อนฟัน ได้แก่ แบร็กเกต ลวด วิธีการและวัสดุที่ใช้ยึดลวดกับแบร็กเกต ตลอดจนสภาวะแวดล้อมอื่นๆ ที่เกี่ยวข้อง เมื่อลวดโค้งทางทันตกรรมจัดฟันที่ใส่อยู่ในร่องแบร็กเกตได้รับแรงกระทำผ่านไปยังแบร็กเกต แรงจะถ่ายทอดสู่ฟันแต่ละซี่ซึ่งแรงดังกล่าวนี้จะอยู่ห่างจากจุดศูนย์กลางของฟันทำให้เกิดโมเมนต์ของแรง (moment of force) มีผลทำให้ฟันมีการล้มเอียง (tipping) จนกระทั่งมุมของร่องแบร็กเกตสัมผัสกับลวดในเวลาเดียวกันถึง 2 ตำแหน่ง ในขณะที่อีกระนาบหนึ่งฟันจะมีการหมุน (rotation) เล็กน้อยจนกระทั่งลวดโค้งทางทันตกรรมจัดฟันสัมผัสกับฐานของร่องแบร็กเกตและฝาปิดทางด้านหน้าของแบร็กเกตหรือลวดผูกมัด (ligature

wire) มุมที่ลวดโค้งทางทันตกรรมจัดฟันเริ่มมีการสัมผัสกันกับแบร็กเกตนี้เรียกว่ามุมวิกฤต (critical angle) และสภาวะที่ลวดโค้งทางทันตกรรมจัดฟันและร่องแบร็กเกตสัมผัสกันในลักษณะที่มีมุมวิกฤตเกิดขึ้นเรียกว่าสภาวะแอคทีฟ (active configuration) (รูปที่ 1) การเคลื่อนที่ของฟันจะเกิดขึ้นทันทีที่มีแรงกระทำที่แบร็กเกตและเกิดก่อนที่จะมีการเลื่อนไถลของฟันเนื่องจากฟันอยู่ในกระดุกเบ้าฟันที่ยึดอยู่ด้วยเอ็นยึดปริทันต์ (periodontal ligament) ที่ยืดหยุ่นได้ เมื่อฟันเริ่มเลื่อนไถลไปบนลวดโค้งทางทันตกรรมจัดฟัน ถ้าลวดโค้งนี้มีความแข็งตึง (stiffness) เพียงพอจะไม่เกิดการผิดรูป (deform) ทำให้ฟันจะยังคงรักษาสภาพการล้มเอียงและหมุนเล็กน้อยในขณะที่มีการเลื่อนไถลอย่างต่อเนื่องไปบนลวดโค้งทางทันตกรรมจัดฟัน¹ โดยปกติเมื่อฟันได้รับแรงที่เหมาะสมในการเคลื่อนฟัน ฟันจะเคลื่อนเป็นระยะทางประมาณ 1 มิลลิเมตรต่อเดือนหรือ 0.23×10^{-4} มิลลิเมตรต่อนาที ดังนั้นจากการเคลื่อนที่ที่ช้ามากในลักษณะดังกล่าวทำให้ค่าแรงเสียดทานจลน์ (kinetic friction) มีค่าใกล้เคียงหรือเหมือนกับค่าแรงเสียดทานสถิต (static friction)²



รูปที่ 1 แสดงสภาวะพาสซีฟและแอคทีฟในระหว่างที่มีกลไกการเลื่อนไถล

Fig. 1 demonstrates passive and active configuration in sliding mechanic.

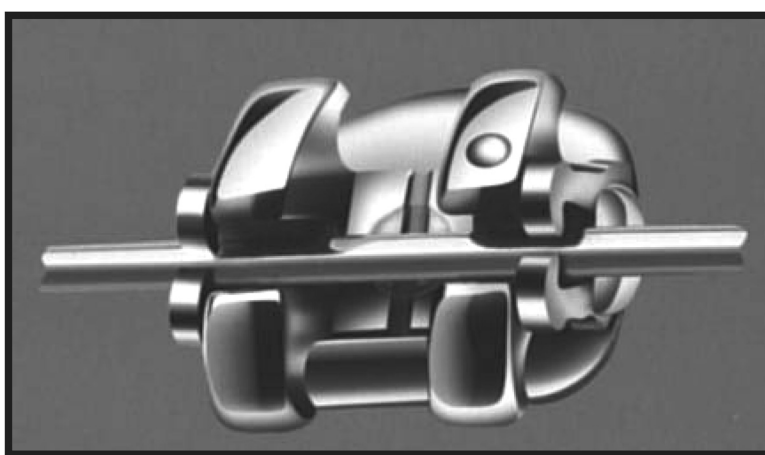
ในปัจจุบันได้มีการพัฒนาแบร็กเกต ในรูปแบบใหม่ เพื่ออำนวยความสะดวกให้แก่ทันตแพทย์จัดฟัน โดยใช้กลไก ชิ้นส่วนของแบร็กเกตเองที่สามารถเปิดและปิดร่องแบร็กเกต ทางด้านหน้าของแบร็กเกตโดยไม่ต้องใช้การมัดลวดโค้งทาง ทันตกรรมจัดฟันให้อยู่ในร่องแบร็กเกตด้วยลวดผูกมัดหรือ วงอีลาสโตเมอร์ ที่เรียกว่า เซลฟ์ไลเกตติ้งแบร็กเกต (self-ligating bracket)³ ซึ่งกลไกของแบร็กเกตชนิดนี้แตกต่างกัน ไปในแบร็กเกตแต่ละแบบ ซึ่งขึ้นอยู่กับบริษัทผู้ผลิตเซลฟ์-ไลเกตติ้งแบร็กเกต สามารถแบ่งออกได้เป็น 2 กลุ่มใหญ่ๆ ตามรูปแบบของแรงกระทำ (mode of action) ที่แบร็กเกตมี ต่อเส้นลวดโค้งทางทันตกรรมจัดฟัน⁴ ได้แก่

1. เซลฟ์ไลเกตติ้งแบร็กเกตแบบไร้แรง (passive) เป็น แบร็กเกตที่มีฝาปิด-เปิด หรือคลิปจับลวดทางด้านหน้าที่ไม่ ได้ส่งแรงกดลงไปยังลวดโค้งทางทันตกรรมจัดฟัน เช่น แบร็กเกตในระบบดามอน (DAMON®, Ormco, U.S.A.) สมาร์ทคลิป (SmartClip®, 3M Unitek, U.S.A.)

2. เซลฟ์ไลเกตติ้งแบร็กเกตแบบมีแรง (active) เป็น แบร็กเกตที่จะส่งแรงกดไปยังลวดโค้งทางทันตกรรมจัดฟัน เพื่อให้ให้อยู่ภายในร่องแบร็กเกต เช่น แบร็กเกตสปีด (SPEED, Strite Industries Limited, Canada)

เซลฟ์ไลเกตติ้งแบร็กเกตระบบสมาร์ทคลิป ได้รับการ พัฒนารูปแบบต่อมาจากแบร็กเกตในเครื่องมือระบบ MBT

Versatile+ โดยยึดหลักปรัชญาที่ว่า มีคุณสมบัติใช้สอยมาก (maximum versatility) เป็นแบร็กเกตปีกคู่ขนาดกลาง (mid-size twin bracket) มีการกำหนดการใช้งาน (bracket prescription) และให้แรงในขนาดที่เบา (use of light force) เป็นแบร็กเกตสมาร์ทคลิปที่ใช้กลไกจาก นิทินอลคลิป (nitinol clip) 2 ตัวที่อยู่บนแบร็กเกตทำหน้าที่ปิด-เปิด แบบยืดหยุ่นเพื่อรองรับเส้นลวดโค้งทางทันตกรรมจัดฟันที่จะใส่ เข้าในร่องแบร็กเกต โดยที่ไม่มีประตูปานเลื่อน (sliding door) หรือสลัก (latch) (รูปที่ 2) เพราะเชื่อว่าประตูปานเลื่อน หรือสลักนี้จะทำให้เกิดปัญหาต่างๆ เช่น การติดของประตูปานเลื่อนทำให้เปิดไม่ออก หรือการที่ประตูปานเลื่อนเปิด ค้างอยู่ตลอดเวลา หรือการเกิดการสะสมของแผ่นคราบ จุลินทรีย์บนประตูปานเลื่อนนี้อาจกล่าวได้ว่าแบร็กเกตสมาร์ท คลิปนี้เป็นเซลฟ์ไลเกตติ้งแบร็กเกตอย่างแท้จริง (true self-ligating bracket) เนื่องจากคลิปจะปิดตัวเองโดยอัตโนมัติ ในทันทีที่ใส่เส้นลวดโค้งทางทันตกรรมจัดฟันเข้าในร่อง แบร็กเกต โดยที่ไม่ต้องปิดประตูปานเลื่อนในภายหลังเหมือน เซลฟ์ไลเกตติ้งแบร็กเกตชนิดอื่น นอกจากนี้จากการที่แบร็ก-เกตสมาร์ทคลิปเป็นแบร็กเกตแบบคู่อย่างแท้จริง (true twin design) แล้วยังทำให้ทันตแพทย์มีทางเลือกในการยึดเส้น ลวดโค้งทางทันตกรรมจัดฟันให้เข้ากับร่องแบร็กเกตเพียงครั้ง เดียวด้วยลวดผูกมัดหรือยางวงอีลาสโตเมอร์ที่ใช้ทั่วไปในกรณี ที่ฟันมีการซ้อนเกอย่างมาก⁵



รูปที่ 2 แบร็กเกตสมาร์ทคลิปที่มีนิทินอลคลิป 2 ตัว

Fig. 2 The SmartClip® bracket with two nitinol clips

เซล์ไฟไลเกตดิงแบร็กเกตระบบตามอน ได้ถูกคิดค้นและพัฒนาโดย Dr. Dwight Damon โดยชนิดแรก คือ ตามอน เอสแอลวัน (DAMON SL I) ในปี ค.ศ. 1996 ต่อมาในปี ค.ศ. 2000 ได้พัฒนาต่อมาเป็น ตามอนเอสแอลทู (DAMON SL II) ที่ได้ใช้กันอย่างแพร่หลาย และในปี ค.ศ. 2004 ได้พัฒนามาเป็นตามอนทรี (DAMON 3) และล่าสุดเมื่อปี ค.ศ. 2005 เป็นแบร็กเกตตามอนทรีเอ็มเอ็กซ์ (DAMON 3MX) ซึ่งเป็นแบร็กเกตรุ่นล่าสุดในระบบของตามอน โดยจะมีลักษณะของประตูบานเลื่อน ซึ่งถือเป็นผนังด้านที่ 4 ของร่องแบร็กเกตที่สามารถบังคับให้ลวดโค้งทางทันตกรรมจัดฟัน อยู่ภายในร่องแบร็กเกต ทำให้ร่องแบร็กเกตมีลักษณะคล้ายท่อ (tube) (รูปที่ 3) ซึ่งจะทำให้เครื่องมือในระบบนี้เป็นเครื่องมือแบบไร้แรง (passive appliance)⁷

ประโยชน์ของการใช้เซลล์ไฟไลเกตดิงแบร็กเกตที่ผู้ผลิตนำมาอ้างเปรียบเทียบกับการใช้แบร็กเกตธรรมดา (conventional bracket) มีอยู่หลายข้อ แต่ที่ชัดเจนและเป็นคุณสมบัติหลักของการเลือกใช้เซลล์ไฟไลเกตดิงแบร็กเกตก็คือ ความสะดวกสบายของทันตแพทย์ที่ไม่จำเป็นต้องเสียเวลาในการยึดลวดโค้งทางทันตกรรมจัดฟันเข้ากับร่องแบร็กเกตด้วยลวดผูกมัดหรือยางวงอีลาสโตเมอร์ แต่ในปัจจุบันมักมีการกล่าวถึงประโยชน์อีกลักษณะหนึ่ง คือ การที่เซลล์ไฟไลเกตดิงแบร็กเกตมีแรงเสียดทานที่น้อยกว่าแบร็กเกตธรรมดา⁸ ซึ่งประโยชน์ของลักษณะนี้ทำให้ทันตแพทย์จัดฟันสามารถใช้แรงในการเคลื่อนฟันอย่างเหมาะสม (optimal force) ไม่ก่อให้เกิดอันตรายต่อเนื้อเยื่อรอบปลายรากฟัน (periapical tissue) และทำให้เกิดการเคลื่อนฟันที่มากที่สุด⁹

มีนักวิจัยหลายท่านศึกษาเปรียบเทียบแรงเสียดทานระหว่างแบร็กเกตธรรมดาและเซลล์ไฟไลเกตดิงแบร็กเกต โดยผลการศึกษาต่างๆ สอดคล้องไปในทางเดียวกันว่า เซลล์ไฟไลเกตดิงแบร็กเกตมีแรงเสียดทานที่น้อยกว่าแบร็กเกตธรรมดา^{1,10-15} และมีการศึกษาเปรียบเทียบระหว่างเซลล์ไฟไลเกตดิงแบร็กเกตแบบไร้แรงและแบบมีแรงพบว่า เซลล์ไฟไลเกตดิงแบร็กเกตแบบไร้แรงมีแรงเสียดทานที่น้อยกว่าแบบมีแรง^{10,13,15} ในขณะที่ยังไม่มีการศึกษาเปรียบเทียบเพื่อหาแรงเสียดทานระหว่างสมาร์ทคลิปลและตามอนทรีเอ็มเอ็กซ์ที่เป็นแบบไร้แรงเหมือนกัน ซึ่งเซลล์ไฟไลเกตดิงแบร็กเกตทั้ง 2 ชนิดนี้ได้มีบริษัทนำเข้ามาจัดจำหน่ายและใช้ภายในประเทศไทยได้ระยะเวลาหนึ่งแล้ว ดังนั้นการศึกษาวิจัยในครั้งนี้จึงเป็นการเปรียบเทียบแรงเสียดทานระหว่างเซลล์ไฟไลเกตดิงแบร็กเกตแบบไร้แรง 2 ชนิด คือ แบร็กเกตสมาร์ทคลิปลและตามอนทรีเอ็มเอ็กซ์ ขณะที่มีการเคลื่อนแบบเลื่อนไกลในลักษณะล้มเอียงภายใต้มุมวิกฤต โดยทดลองในห้องปฏิบัติการเพื่อนำผลที่ได้มาช่วยให้ทันตแพทย์จัดฟันสามารถเลือกใช้แบร็กเกตชนิดเซลล์ไฟไลเกตดิงแบร็กเกตในเครื่องมือจัดฟันชนิดติดแน่นในผู้ป่วยได้อย่างเหมาะสมต่อไป

วัสดุและวิธีการ

กลุ่มตัวอย่าง

ในการศึกษาครั้งนี้กลุ่มตัวอย่างประกอบด้วย เซลล์ไฟไลเกตดิงแบร็กเกตแบบไร้แรง 2 ชนิด และแบร็กเกตธรรมดา 1 ชนิด แต่ละชนิดมีจำนวน 30 ตัวอย่าง โดยลวดที่ใช้ทดสอบค่าแรงเสียดทานดังนี้



รูปที่ 3 แบร็กเกตตามอนทรีเอ็มเอ็กซ์ที่มีประตูบานเลื่อน

Fig. 3 The Damon 3MX bracket with sliding door

1. เซลฟ์ไลเกตติงแบร็กเกตแบบไร้แรงสำหรับฟันเขี้ยว ขนาด 0.022 นิ้ว x 0.028 นิ้ว คือ แบร็กเกตตามอนทรีเอ็มเอ็กซ์ จำนวน 30 ตัวอย่าง

2. เซลฟ์ไลเกตติงแบร็กเกตแบบไร้แรงสำหรับฟันเขี้ยว ขนาด 0.022 นิ้ว x 0.028 นิ้ว คือ แบร็กเกตสมาร์ทคลิป์ จำนวน 30 ตัวอย่าง

3. แบร็กเกตเหล็กกล้าไร้สนิมธรรมดาสำหรับฟันเขี้ยว ขนาด 0.022 นิ้ว x 0.028 นิ้ว คือ แบร็กเกตเจมินี จำนวน 30 ตัวอย่าง

4. ลวดเหล็กกล้าไร้สนิมขนาด 0.019 x 0.025 นิ้ว (Stainless steel, 3M Unitek, U.S.A.) จำนวน 90 เส้น

ทำการวัดความสูงของร่องแบร็กเกต ความกว้างในแนว ไกลกลาง-ไกลกลางของแบร็กเกตและความสูงลวดจำนวน ชนิดละ 5 ตัวอย่างด้วยกล้องจุลทรรศน์อิเล็กตรอนแบบส่อง กราด (scanning electron microscope) เพื่าคำนวณหา ค่ามุมวิกฤตและกำหนดมุมกระทำระหว่างลวดและแบร็กเกต จากสมการดังนี้¹⁶

$$\text{มุมวิกฤต} = \frac{57.32 (\text{CLEARANCE INDEX})}{(\text{BRACKET INDEX})}$$

$\text{CLEARANCE INDEX} = 1 - \text{ENGAGEMENT INDEX}$

$\text{ENGAGEMENT INDEX} = \frac{\text{ขนาดลวดในแนวตั้ง}}{\text{ขนาดร่องแบร็กเกตในแนวตั้ง}}$

$\text{BRACKET INDEX} = \frac{\text{ขนาดความกว้างแบร็กเกตในแนวไกลกลาง-ไกลกลาง}}{\text{ขนาดร่องแบร็กเกตในแนวตั้ง}}$

จากการวัดขนาดของแบร็กเกตร่องแบร็กเกตและความสูงของลวดด้วยกล้องจุลทรรศน์อิเล็กตรอนแบบส่องกราด พบว่าความสูงเฉลี่ยของร่องแบร็กเกตตามอนทรีเอ็มเอ็กซ์เท่ากับ 0.595 มิลลิเมตร ในขณะที่ความสูงเฉลี่ยของร่องแบร็กเกตสมาร์ทคลิป์เท่ากับ 0.616 มิลลิเมตร สูงกว่าแบร็กเกตตามอนทรีเอ็มเอ็กซ์อยู่ 0.021 มิลลิเมตร ส่วนความกว้างในแนว ไกลกลางและไกลกลางพบว่า ความกว้างเฉลี่ยของแบร็กเกตตามอนทรีเอ็มเอ็กซ์เท่ากับ 2.844 มิลลิเมตร ในขณะที่แบร็กเกตสมาร์ทคลิป์มีความกว้างเท่ากับ 3.815 มิลลิเมตรกว้างกว่าแบร็กเกตตามอนทรีเอ็มเอ็กซ์อยู่ 0.971 มิลลิเมตร ความสูงเฉลี่ยของลวดมีค่าเท่ากับ 0.478 มิลลิเมตรจากขนาดของแบร็กเกต ร่องแบร็กเกตและความสูงของลวดดังกล่าวเมื่อนำมาคำนวณหาค่ามุมวิกฤต พบว่าแบร็กเกตตามอนทรีเอ็มเอ็กซ์ แบร็กเกตสมาร์ทคลิป์และแบร็กเกตเจมินี มีค่ามุมวิกฤต 2.362 2.002 และ 1.379 องศาตามลำดับ (ตารางที่ 1)

ดังนั้นจึงกำหนดมุมกระทำในการทดลองครั้งนี้ที่ 3 องศา ในทุก ๆ กลุ่มตัวอย่าง จากนั้นทำการสร้างตัวกำหนดตำแหน่งแบร็กเกตเพื่อให้ร่องแบร็กเกตในทุกกลุ่มตัวอย่างอยู่ในตำแหน่งและระนาบเดียวกัน จากนั้นนำไปทดสอบหาค่าแรงเสียดทานสถิตด้วยเครื่องลดยด์ยูนิเวอร์แซลเทสติง (Lloyd universal testing machine) โดยกำหนดมุมกระทำระหว่างร่องแบร็กเกตกับลวดเหล็กกล้าไร้สนิมขนาด 0.019 x 0.025 นิ้ว ที่ 3 องศา โดยแบร็กเกตเจมินีที่เป็นแบร็กเกตธรรมดาจะยึดลวดด้วยการใช้อีลาสโทเมอร์ อ่านค่าแรงเสียดทานสถิตที่ได้จากกราฟหน่วยเป็นนิวตันแล้วบันทึกผลจนครบทุกกลุ่มตัวอย่าง

ตารางที่ 1 แสดงค่าเฉลี่ยความสูงร่องแบร็กเกต ความกว้างแบร็กเกต และค่ามุมวิกฤตในแบร็กเกตทั้ง 3 ชนิด

Table 1 Mean of height of bracket slot, width of bracket and critical angle of three bracket types

Bracket types	Height of bracket slot (mm.)	Width of bracket (mm.)	Critical angle (degree)
Damon 3MX	0.595	2.844	2.362
Smartclip	0.616	3.815	2.002
Gemini	0.560	3.400	1.379

ทำการทดสอบความน่าเชื่อถือของผู้อ่านค่าโดยเฉพาะจุดสูงสุดของเส้นกราฟที่ปรากฏจากเครื่องล้อยัตินอเวอร์แชลทดสอบ หลังจากทำการอ่านค่าและบันทึกผลในครั้งแรกแล้ว 1 เดือนถัดมา จึงทำการอ่านค่าอีกครั้งหนึ่งนำผลที่ได้จากการอ่านค่าในทั้งสองครั้งมาเปรียบเทียบความสัมพันธ์ของค่าที่อ่านได้ด้วยการวิเคราะห์ความสัมพันธ์เพียร์สัน (Pearson correlation) และทดสอบความแตกต่างของค่าที่อ่านได้ด้วยสถิติที (paired T-test) และทดสอบด้วยสูตรของดาห์ลเบิร์ก (Dahlberg's formula) $\sqrt{(\sum d^2/2n)}$ จากนั้นทำการวิเคราะห์ข้อมูลค่าแรงเสียดทานสถิตด้วยโปรแกรมสำเร็จรูปเอสพีเอสเอสสำหรับวินโดวส์เวอร์ชัน 11.5 (SPSS for Windows, version 11.5) เพื่อบรรณค่าเฉลี่ยของแรงเสียดทานสถิตทั้ง 3 กลุ่มตัวอย่าง และวิเคราะห์ความแปรปรวนแบบทิศทางเดียว (One way analysis of variance) ที่ระดับนัยสำคัญ 0.05 และสถิติการเปรียบเทียบพหุคูณ (Multiple comparison test) ด้วยวิธีแทมเฮนทีทู (Tamhane's T2)

ผลการศึกษา

การทดสอบวัดความน่าเชื่อถือของผู้วัดจากการวิเคราะห์ความสัมพันธ์เพียร์สันและสถิติที่พบว่าการวัดค่ามีความสัมพันธ์ไปในทิศทางเดียวกันและไม่มีแตกต่างอย่างมีนัยสำคัญทางสถิติ

ที่ระดับนัยสำคัญ 0.05 ($r = 0.999$) ($P = 0.13$) และจากการทดสอบด้วยสูตรของดาห์ลเบิร์กที่ $n = 30$ พบว่าค่าที่คำนวณมาได้มีค่าเท่ากับ 0.02 นิวตัน ซึ่งมีขนาดที่ไม่มากกว่าค่าความผิดพลาดที่จะเกิดจากการอ่านค่าที่ได้จากเครื่องล้อยัตินที่มีค่าเท่ากับ 0.02 นิวตัน¹⁷ จากการทดสอบดังกล่าวทั้งหมดจึงสรุปว่าผู้วัดค่ามีความน่าเชื่อถือในการวัดค่า

จากการวัดค่าแรงเสียดทานสถิตของแต่ละกลุ่มสามารถคำนวณเพื่อหาค่าเฉลี่ย (mean) ของขนาดแรงเสียดทานสถิตส่วนเบี่ยงเบนมาตรฐาน (standard deviation) ค่าน้อยที่สุด (minimum) และค่ามากที่สุด (maximum) ของแรงเสียดทานสถิตใน 3 กลุ่มตัวอย่าง ได้แก่ แบริกเกตตามอนทรีเอ็ม-เอ็กซ์ สมาร์ทคลิป์ และเจมินี (ตารางที่ 2)

จากผลการทดลองพบว่า ค่าเฉลี่ยของขนาดแรงเสียดทานสถิตในแบริกเกตตามอนทรีเอ็มเอ็กซ์มีค่าน้อยที่สุด คือ 0.203 ± 0.083 นิวตัน ถัดมาเป็นสมาร์ทคลิป์ คือ 0.297 ± 0.074 นิวตัน และแบริกเกตเจมินีที่เป็นกลุ่มควบคุมจะมีค่าเฉลี่ยแรงเสียดทานสถิตที่มากที่สุด คือ 1.865 ± 0.404 นิวตัน

จากการวิเคราะห์ค่าเฉลี่ยของแรงเสียดทานสถิตทั้ง 3 กลุ่มตัวอย่างโดยใช้สถิติการวิเคราะห์ความแปรปรวนแบบทิศทางเดียว พบว่ามีความแตกต่างกันอย่างมีนัยสำคัญที่ระดับ 0.05 จึงทำการวิเคราะห์ด้วยสถิติแทมเฮนทีทู เพื่อ

ตารางที่ 2 ค่าเฉลี่ยของขนาดแรงเสียดทานสถิต ส่วนเบี่ยงเบนมาตรฐาน ค่าน้อยที่สุด และค่ามากที่สุดของแบริกเกต (นิวตัน) ในกลุ่มตัวอย่าง 3 กลุ่ม

Table 2 Mean, standard deviation, minimum and maximum (newtons) of the static frictional resistance of three bracket types

Bracket types	Mean (N)	Standard Deviation (N)	Minimum (N)	Maximum (N)
Damon 3 MX (n = 30)	0.203	0.083	0.079	0.398
Smartclip (n = 30)	0.297	0.074	0.197	0.410
Gemini (n = 30)	1.865	0.404	1.060	2.864

พิจารณาค่าเฉลี่ยของแรงเสียดทานสถิตในแบร็กเก็ตคูใดที่แตกต่างกัน (ตารางที่ 3) พบว่าค่าเฉลี่ยของแรงเสียดทานสถิตระหว่างแบร็กเก็ต ตามอนทรีเอ็มเอ็กซ์และสมาร์ทคลิป์มีความแตกต่างอย่างมีนัยสำคัญทางสถิติ ซึ่งผลต่างของค่าเฉลี่ยของแรงเสียดทานสถิตระหว่างแบร็กเก็ตทั้ง 2 ชนิดนี้อยู่ในช่วง 0.044 – 0.144 นิวตัน ที่ระดับความเชื่อมั่นร้อยละ 95 ค่าเฉลี่ยของแรงเสียดทานสถิตระหว่างแบร็กเก็ตตามอนทรีเอ็มเอ็กซ์ และเจมินีมีความแตกต่างอย่างมีนัยสำคัญทางสถิติ ซึ่งผลต่างของค่าเฉลี่ยของแรงเสียดทานสถิตระหว่างแบร็กเก็ตทั้ง 2 ชนิดนี้อยู่ในช่วง 1.473-1.852 นิวตัน ที่ระดับความเชื่อมั่นร้อยละ 95 และค่าเฉลี่ยของแรงเสียดทานระหว่างแบร็กเก็ตสมาร์ทคลิป์และเจมินีมีความแตกต่างอย่างมีนัยสำคัญทางสถิติ ซึ่งผลต่างของค่าเฉลี่ยของแรงเสียดทานสถิตระหว่างแบร็กเก็ตทั้ง 2 ชนิดนี้อยู่ในช่วง 1.380-1.758 นิวตัน ที่ระดับความเชื่อมั่นร้อยละ 95

วิจารณ์

การศึกษาในครั้งนี้ได้ทำการทดลองหาค่าแรงเสียดทานสถิตที่เกิดขึ้นจากการเคลื่อนที่แบบเลื่อนไถลระหว่างแบร็กเก็ตกับลวดเหล็กกล้าไร้สนิมภายใต้สภาวะแอกติฟ ซึ่งได้มีการคำนวณหาค่ามุมวิกฤตที่มีในแบร็กเก็ตแต่ละชนิดแล้วทำการเพิ่มองศาขึ้นอีกเพื่อให้แน่ใจว่า แบร็กเก็ตทุกชนิดที่ใช้ในการทดลองจะอยู่ภายใต้สภาวะแอกติฟนี้ทั้งหมด จากการคำนวณค่ามุมวิกฤตในแบร็กเก็ตธรรมดา แบร็กเก็ตสมาร์ทคลิป์และ

แบร็กเก็ตตามอนทรีเอ็มเอ็กซ์ได้ค่ามุมวิกฤตเป็น 1.379 2.002 และ 2.362 องศาตามลำดับ จึงได้กำหนดมุมที่ใช้ในทุกแบร็กเก็ตเท่ากับ 3 องศา ซึ่งมากกว่าค่าที่คำนวณได้เพื่อให้ใกล้เคียงค่ามุมวิกฤตที่เกิดขึ้นจริงและสอดคล้องกับการศึกษาที่ผ่านมา ซึ่งพบว่าค่ามุมวิกฤตจากการคำนวณจะมีค่าน้อยกว่ามุมวิกฤตที่เกิดขึ้นจริง¹³ การเลือกใช้ค่าแรงเสียดทานสถิตในการศึกษาครั้งนี้เนื่องมาจากค่าของแรงเสียดทานสถิตที่เกิดขึ้นในแบร็กเก็ตแต่ละชนิด เป็นจุดที่มีความแม่นยำและน่าเชื่อถือในการวัดและอ่านค่า รวมทั้งการเคลื่อนที่ภายหลังได้รับแรงทางทันตกรรมจัดฟันที่เหมาะสมจะเกิดการเคลื่อนที่เป็นระยะทางที่น้อยมาก คือ 0.23×10^{-4} มิลลิเมตร ต่อนาที ดังนั้นจากการเคลื่อนที่ที่ช้ามากในลักษณะดังกล่าวทำให้ค่าแรงเสียดทานจลน์มีความใกล้เคียงหรือเท่ากับค่าแรงเสียดทานสถิต ซึ่งสอดคล้องกับการศึกษาที่ผ่านมา¹⁸

จากค่ามุมวิกฤตจะพบว่า แบร็กเก็ตตามอนทรีเอ็มเอ็กซ์จะมีค่ามุมวิกฤตประมาณ 2.362 องศา ในขณะที่แบร็กเก็ตสมาร์ทคลิป์จะมีค่ามุมวิกฤตประมาณ 2.002 องศา แบร็กเก็ตที่มีมุมวิกฤตที่มากกว่าจะทำให้เกิดระยะปลอด (clearance) ในการลัดเมียงที่มากกว่า ทำให้เมื่อเกิดการเคลื่อนที่ไปบนลวดแรงเสียดทานที่เกิดขึ้นจึงมีขนาดที่น้อยกว่า จากการที่ขนาดของแบร็กเก็ตส่งผลถึงค่ามุมวิกฤตซึ่งจะมีผลต่อค่าแรงเสียดทานสถิตแบร็กเก็ตสมาร์ทคลิป์จึงมีแนวโน้มที่น่าจะเกิดแรงเสียดทานที่มากกว่าเมื่อลวดลัดเมียงทำมุมในองศาเดียวกัน และจากผลการทดลองพบว่า แบร็กเก็ตตามอนทรีเอ็มเอ็กซ์มีค่าเฉลี่ยแรงเสียดทานที่น้อยกว่าแบร็กเก็ตสมาร์ทคลิป์ คือ

ตารางที่ 3 ผลการวิเคราะห์ค่าเฉลี่ยของแรงเสียดทานสถิตด้วยสถิติแทมเฮนทีทู

Table 3 Analysis the mean of static friction using Tamhane's T2

TYPE	TYPE	Sig.	95% Confidence Interval	
			Lower Bound	Upper Bound
Damon 3MX	Smartclip	.000	-0.144	-0.044
	Control	.000	-1.852	-1.473
Smartclip	Damon 3MX	.000	0.044	0.144
	Control	.000	-1.758	-1.380
Control	Damon 3MX	.000	1.473	1.852
	Smartclip	.000	1.380	1.758

0.203 และ 0.297 นิวตัน ตามลำดับ ทั้งนี้อาจจะเนื่องมาจากการออกแบบระบบในการยึดจับลวดที่แตกต่างกัน กล่าวคือ ในแบร็กเกตตามอนทรีเอ็มเอ็กซ์ได้ใช้ระบบในการยึดจับลวดแบบที่เป็นฟาสต์โลด-เปิดในลักษณะที่เป็นบานเลื่อน ในขณะที่แบร็กเกตสมาร์ทคลิป์ใช้ระบบในการยึดจับลวดแบบคลิป์หนีบที่ด้านข้างทั้ง 2 ข้างของตัวแบร็กเกต ซึ่งเมื่อใส่ลวดลงไปในเรื่องแบร็กเกตสมาร์ทคลิป์ ลวดจะต้องถูกกดและเบียดให้คลิป์ที่ทำมาจากนิกเกิลไทเทเนียมนี้แอ้าออกเพื่อรับลวดให้เข้าไปอยู่ภายในร่องแบร็กเกต ซึ่งถ้าลวดมีขนาดใหญ่ (0.019 x 0.025 นิ้ว) ที่ใช้ในการศึกษานี้พบว่า การกดให้ลวดผ่านคลิป์เข้าไปภายในร่องแบร็กเกตนั้นต้องอาศัยแรงในการกดที่มากพอสมควร ทำให้ลวดเหล็กกล้าไร้สนิมเกิดรอยครูดขึ้นจากคลิป์ทั้งสองข้าง ทำให้เมื่อเคลื่อนลวดที่มีรอยครูดผ่านร่องแบร็กเกตอาจจะทำให้เกิดแรงเสียดทานที่เพิ่มขึ้นได้ ในขณะที่แบร็กเกตตามอนทรีเอ็มเอ็กซ์ใช้ลักษณะของการเปิดปิดบานเลื่อนในการยึดจับลวด ทำให้ลวดไม่เกิดรอยเหมือนแบร็กเกตสมาร์ทคลิป์ จึงให้ผลแรงเสียดทานที่น้อยกว่า เมื่อเปรียบเทียบแรงเสียดทานระหว่างแบร็กเกตธรรมดากับเซล์ไฟไลเกตตั้งแบร็กเกตพบว่า แบร็กเกตธรรมดามีแรงเสียดทานที่มากกว่า เซล์ไฟไลเกตตั้งแบร็กเกตเพราะแบร็กเกตธรรมดามีแรงกดที่ลวดจากการมัดด้วยวงอีลาสโทเมอร์เพื่อให้ลวดอยู่ภายในร่องแบร็กเกต ซึ่งต่างจากเซล์ไฟไลเกตตั้งแบร็กเกตทั้ง 2 ชนิดที่ไม่มีมีการมัดในลักษณะดังกล่าวทำให้แรงเสียดทานที่พบมีขนาดที่น้อยกว่า

มีการศึกษาในอดีตที่ทำการทดลองเปรียบเทียบแรงเสียดทานในการเคลื่อนที่ในลักษณะอื่นพบว่า การเคลื่อนที่แบบหมุนแบร็กเกตตามอนทรีเอ็มเอ็กซ์มีแรงเสียดทานที่มากกว่าแบร็กเกตสมาร์ทคลิป์ ในขณะที่ไม่มีความแตกต่างกันของการเคลื่อนที่แบบอินทรูชัน (intrusion) และพบว่าแบร็กเกตตามอนทรีเอ็มเอ็กซ์มีแรงเสียดทานที่มากกว่าแบร็กเกตสมาร์ทคลิป์ในลักษณะการเคลื่อนที่แบบทอร์ก (torque) ทั้งนี้เนื่องจากความสูงร่องแบร็กเกตและความกว้างแบร็กเกตที่แตกต่างกัน¹⁸ และจากการทดลองในสภาวะพาสซีฟ (passive configuration) พบว่า แบร็กเกตทั้ง 2 ชนิดมีแรงเสียดทานที่ไม่แตกต่างกัน¹⁹

การศึกษาเรื่องแรงเสียดทานที่เกิดขึ้นในขณะเคลื่อนที่นั้นส่วนมากจะเป็นการศึกษาในห้องปฏิบัติการ โดยเปรียบเทียบค่าแรงเสียดทานสถิตระหว่างลวดและแบร็กเกตรูปแบบต่างๆ ซึ่งแต่ละบริษัทได้ผลิตรูปแบบของเซล์ไฟไลเกตตั้งแบร็กเกตแตกต่างกัน จึงเป็นปัจจัยที่มีผลต่อแรงเสียดทานโดยเฉพาะในสภาวะแอคทีฟ เช่น ขนาดของแบร็กเกต รูปแบบการผลิตชิ้นส่วนของการยึดจับลวดที่แตกต่างกัน ซึ่งจะเป็นข้อจำกัดในการเปรียบเทียบค่าแรงเสียดทานของแบร็กเกตแต่ละบริษัท จึงเสนอแนะให้ทำการศึกษาเปรียบเทียบแรงเสียดทานในแบร็กเกตที่มีขนาดร่องแบร็กเกตที่เท่ากันในทุกส่วน และมีชิ้นส่วนของการยึดจับลวดที่คล้ายกัน อาจจะช่วยให้ทราบถึงปัจจัยอื่นๆ ที่มีผลต่อแรงเสียดทานอย่างชัดเจนต่อไป

สรุป

ที่สภาวะแอคทีฟ เซล์ไฟไลเกตตั้งแบร็กเกตแบบไร้แรงมีค่าแรงเสียดทานที่น้อยกว่าแบร็กเกตธรรมดาอย่างมีนัยสำคัญทางสถิติ โดยแรงเสียดทานที่เกิดขึ้นที่สภาวะแอคทีฟในแบร็กเกตทั้ง 3 ชนิด สามารถเรียงลำดับจากน้อยไปมากที่สุดได้ดังนี้ เซล์ไฟไลเกตตั้งแบร็กเกตตามอนทรีเอ็มเอ็กซ์ เซล์ไฟไลเกตตั้งแบร็กเกตสมาร์ทคลิป์และแบร็กเกตธรรมดา ซึ่งแบร็กเกตทั้ง 3 ชนิดนี้มีค่าแรงเสียดทานที่แตกต่างกันอย่างมีนัยสำคัญทางสถิติ

กิตติกรรมประกาศ

งานวิจัยนี้ได้รับทุนอุดหนุนจากฝ่ายวิจัย คณะทันตแพทยศาสตร์ จุฬาลงกรณ์มหาวิทยาลัย และขอขอบพระคุณอาจารย์ไพพรรณ พิทยานนท์ ที่ช่วยกรุณาแนะนำด้านสถิติและการวิเคราะห์ข้อมูลในงานวิจัยนี้ได้รับความอนุเคราะห์เครื่องมือและวัสดุที่ใช้ในการวิจัยบางส่วนจาก บริษัท ทันตสยาม วิสาหกิจ จำกัด และ บริษัท แอคคอร์ดี คอร์ปอเรชั่น จำกัด รวมทั้งความร่วมมือในการใช้เครื่องมือทดสอบต่างๆ จากเจ้าหน้าที่ศูนย์วิจัยทันตวัสดุศาสตร์ คณะทันตแพทยศาสตร์ จุฬาลงกรณ์มหาวิทยาลัย ทางคณะผู้วิจัยขอขอบพระคุณมา ณ โอกาสนี้ และขอขอบพระคุณ รศ. ทพ. ดร. สุนทรา พันธุ์มีเกียรติ ที่ได้สละเวลามาให้คำปรึกษาทางด้านสถิติ

เอกสารอ้างอิง

1. Loftus BP, Artun J, Nicholls JJ, Alonzo TA, Stoner JA. Evaluation of friction during sliding tooth movement in various bracket-arch wire combinations. *Am J Orthod Dentofacial Orthop.* 1999;116:336-45.
2. Braun S, Bluestein M, Moore BK, Benson G. Friction in perspective. *Am J Orthod Dentofacial Orthop.* 1999;115:619-27.
3. Harradine NW. Self-ligating brackets: where are we now? *J Orthod.* 2003;30:262-73.
4. Berger J. Self-ligation in the year 2000. *J Clin Orthod.* 2000;34:74-81.
5. The SmartClip Self-ligating appliance system: Technique guide. [Internet]. 2006 [cited 2008 Feb 22]. Available from: http://solutions.3m.com/wps/portal/3M/en_US/orthodontics/Unitek/solutions/brackets/Smartclip.
6. Damon DH. The rationale, evolution and clinical application of the self-ligating bracket. *Clin Orthod Res.* 1998;1:52-61.
7. Graber TM. Orthodontics: current principles & techniques. 4th ed. St. Louis: Elsevier Mosby, 2005:753-852.
8. Harradine NW. Self-ligating brackets and treatment efficiency. *Clin Orthod Res.* 2001;4:220-7.
9. Nanda R. Biomechanics in clinical orthodontics. Philadelphia: WB Saunders Company, 1997:188-217.
10. Sims AP, Waters NE, Birnie DJ, Pethybridge RJ. A comparison of the forces required to produce tooth movement in vitro using two self-ligating brackets and a pre-adjusted bracket employing two types of ligation. *Eur J Orthod.* 1993;15:377-85.
11. Read-Ward GE, Jones SP, Davies EH. A comparison of self-ligating and conventional orthodontic bracket systems. *Br J Orthod.* 1997;24:309-17.
12. Sims AP, Waters NE, Birnie DJ. A comparison of the forces required to produce tooth movement ex vivo through three types of pre-adjusted brackets when subjected to determined tip or torque values. *Br J Orthod.* 1994;21:367-73.
13. Thorstenson GA, Kusy RP. Comparison of resistance to sliding between different self-ligating brackets with second-order angulation in the dry and saliva states. *Am J Orthod Dentofacial Orthop.* 2002;121:472-82.
14. Thorstenson GA, Kusy RP. Resistance to sliding of self-ligating brackets versus conventional stainless steel twin brackets with second-order angulation in the dry and wet (saliva) states. *Am J Orthod Dentofacial Orthop.* 2001;120:361-70.
15. Pizzoni L, Ravnholt G, Melsen B. Frictional forces related to self-ligating brackets. *Eur J Orthod.* 1998;20:283-91.
16. Kusy RP, Whitley JQ. Assessment of second-order clearances between orthodontic archwires and bracket slots via the critical contact angle for binding. *Angle Orthod.* 1999;69:71-80.
17. LR Series & LS 100 Material Testing Machine user manual. [Internet]. 2008 [cited 2008 Feb 22]. Available from: <http://www.wdturner.com/manuals.html>.
18. Yeh CL, Kusnoto B, Viana G, Evans CA, Drummond JL. *In-vitro* evaluation of frictional resistance between brackets with passive-ligation designs. *Am J Orthod Dentofacial Orthop.* 2007;131:704e.11-22.
19. Franchi L, Baccetti T, Camporesi M, Barbato E. Forces released during sliding mechanics with passive self-ligating brackets or nonconventional elastomeric ligatures. *Am J Orthod Dentofacial Orthop.* 2008;133:87-90.

The comparison of frictional force in two passive self-ligating brackets and a conventional bracket

Buntoon Chotiwannaporn D.D.S., M.D.Sc. (Orthodontics)¹

Porntip Chiewcharat D.D.S. (Hons), M.D.Sc. (Orthodontics), Diplomate,
Thai Board of Orthodontics²

Niramol Chamnannidiadha D.D.S. (Hons), Dr.med.dent. (Orthodontics), Diplomate,
Thai Board of Orthodontics²

¹Graduate Student, Department of Orthodontics, Faculty of Dentistry, Chulalongkorn University

²Department of Orthodontics, Faculty of Dentistry, Chulalongkorn University

Abstract

Objective The purpose of this study was to compare the frictional resistance of two types of passive self-ligating brackets and a conventional bracket. The two passive self-ligating brackets were Damon 3MX that kept the wire inside the slot by a sliding door and Smartclip that held the wire by two slipping clips while the conventional bracket (Gemini) kept the wire inside the slot by an elastomeric ring.

Materials and methods Three experimental groups were tested by using three different materials in active configuration. Each group consisted of 30 samples. At critical angle 3 degrees, static frictional resistance was evaluated by Lloyd universal testing machine while the 0.019 inch x 0.025 inch stainless steel wire was moved in the bracket slot. One-way analysis of variance and multiple comparisons with Tamhane's T2 were used to analyze the difference of the static frictional resistance among three groups at statistically significant level 0.05.

Results The findings revealed that Damon 3MX showed the lowest frictional resistance (0.203 ± 0.083 newton) followed by Smartclip (0.297 ± 0.074 newton) and Gemini (1.865 ± 0.404 newton), respectively. There were statistically significant differences of the frictional resistance among three groups at level 0.05.

Conclusion In the active configuration, Damon 3MX bracket and Smartclip bracket produced lower frictional force than the conventional bracket did. Between two self-ligating brackets, Damon 3MX demonstrated lower frictional force than that of Smartclip with statistical significance.

(CU Dent J. 2008;31:159-68)

Key words: active configuration; conventional bracket; passive self-ligating bracket; static friction
